

ТОПОЛОГИЧЕСКОЕ ДВУЛУЧЕПРЕЛОМЛЕНИЕ ОПТИЧЕСКИХ ВИХРЕЙ

Воляр А. В., доктор физико-математических наук, профессор,
Фадеева Т. А., кандидат физико-математических наук, Шведов В. Г., аспирант

1. Введение

Способность локально изотропной слоистой среды вызывать двулучепреломление в поле оптической волны известна довольно давно как двулучепреломление формы [1]. Рытов и Владимирский при анализе процессов распространения поляризованных световых лучей через локально изотропную неоднородную среду заметили, что световая волна подвергается циркулярному двулучепреломлению. Для волн с плоской лучевой траекторией циркулярного двулучепреломления не возникает, в то время, как волны, распространяющиеся по винтовым траекториям, приобретают различные фазовые скорости для правой и левой циркулярных поляризаций. Дальнейшие исследования показали, что физическая природа различного отклика локально-изотропной неоднородной среды на правую и левую циркулярные поляризации волны связана с топологической фазой поля [2]. Авторы работы [3] пришли к заключению, что величина циркулярного двулучепреломления неоднородной среды составляет $\delta n_c \sim \lambda / a$, а линейного двулучепреломления $\delta n_l \sim (\lambda / a)^2$ (λ – длина волны, a – характерный размер неоднородности).

Целью данной статьи явилось теоретическое и экспериментальное исследование, как раздельного, так и совместного проявления циркулярного и линейного двулучепреломления оптических вихрей в маломодовых волокнах.

2.1. Циркулярное двулучепреломление. Эффект Рытова и оптический эффект Магнуса

Рассмотрим распространение в маломодовом оптическом волокне суперпозиции однородных и неоднородных CV вихрей:

$$LV_{\sigma l}^x = CV_{\sigma l}^{+\sigma} + CV_{\sigma l}^{-\sigma}, \quad CP_{\sigma l}^\sigma = CV_{+\sigma l}^\sigma + CV_{-\sigma l}^\sigma, \quad (1)$$

где для первого в сумме CV вихря $\kappa = +1$, а для второго $\kappa = -1$, кроме того, для неоднородных CV вихрей должно выполняться требование $l \neq 1$. Используя выражения для CV вихрей, запишем электрическое поле линейно поляризованного $LV_{\sigma l}^x$ вихря в виде

$$\mathbf{e}_t(LV_{\sigma l}^x) = (\hat{x} \cos \delta \beta_{21} z + \hat{y} \sin \delta \beta_{21} z) F_l(R) \exp\{i\sigma l \phi\} \exp\{\tilde{\beta}' z\} \quad (2)$$

Из выражения (2) следует, что электрический вектор линейной поляризации в процессе распространения LV вихря по волокну испытывает поворот на угол:

$$\psi = \sigma \delta \beta_{21} z = \frac{2\pi}{\lambda} \delta n_l z, \quad (3)$$

которое характеризуется величиной эффективного двулучепреломления

$$\delta n_T = \frac{c^2 \Delta}{n_{co} \rho^2 \omega^2} \sigma I. \quad (4)$$

Выражение (4) описывает волноводный аналог эффекта Рытова-Владимирского. В случае маломодового волокна поворот электрического вектора характеризуется параллельным переносом вектора состояния вдоль линий потока энергии.

В волокне можно возбудить циркулярно поляризованную CP_{lm}^σ волну (1) с вырожденной краевой дислокацией. Вид поперечного электрического поля запишем в виде:

$$e_t(CP_{lm}^{\sigma,even}) = \{\hat{x} + i\sigma \hat{y}\} \cos(\sigma l\phi - \delta\beta_{21}z) F_l(R) \exp(i\tilde{\beta}' z) \quad (5)$$

Из (5) следует, что при распространении вдоль параболического волокна наблюдается вращение оси вырожденной краевой дислокации вихревой суперпозиции на угол:

$$\chi = -\sigma \delta\beta_{21}z = -\frac{2\pi}{\lambda} \delta n_T z. \quad (6)$$

Направление вращения дислокации противоположно направлению вращения линейной поляризации в первом явлении. Такое вращение краевой дислокации является волноводным проявлением оптического эффекта Магнуса.

Это явление эквивалентно циркулярному двулучепреломлению среды. Однако оно, во-первых, наблюдается в локально изотропной среде, во-вторых, показатель преломления δn_T зависит от топологического заряда. Поэтому величину δn_T можно характеризовать как топологическое двулучепреломление.

2.2. Линейное двулучепреломление. Объединенный эффект Рытова-Магнуса

Пользуясь методом, рассмотренным в разделе 2.1, можно показать, что силовые линии азимутальной и радиальной компонент вектора Пойнтинга \mathbf{P} для CP_{11}^+ поля в таком волокне при распространении деформируются. Изменение формы силовых линий CP_{11}^+ моды связано с осцилляционными изменениями поля IV вихря, в котором возникают биения между полями парциальных $|+1;-1\rangle$ и $| -1;+1\rangle$ вихрей. В результате этих биений в CP_{11}^+ поле попеременно складываются либо противоположные топологические заряды и формируется однородно циркулярно поляризованное поле с вырожденной краевой дислокацией $|0;+1\rangle$, либо линейно поляризованное поле с чисто винтовой дислокацией $|+1;0\rangle$. В сечениях $z = 2n\Lambda_{IV}/4$ ($n=0,1,2,\dots$) угол поворота оси вырожденной краевой дислокации χ описывается выражением (6) и характеризует волноводный

оптический эффект Магнуса. В сечениях $z = (2n+1)\Lambda_{LV}/4$ угол поворота ψ вектора линейной поляризации LV вихря описывается выражением (3) и описывает эффект Рытова-Владимирского.

На промежуточных длинах волокна эффект Рытова и оптический эффект Магнуса наблюдаются одновременно. В дальнейшем будем характеризовать это явление как объединенный оптический эффект Магнуса.

Можно показать, что поляризационная поправка $\delta\beta_i^\sigma$ для CV вихрей, TE и TM мод задается выражением:

$$\delta\beta = \delta\tilde{\beta} + \frac{\sqrt{2\Delta}}{8\tilde{\beta}} \int_{S_x} \left(\mathbf{e}^{(1)} \nabla f \nabla \tilde{\mathbf{e}}^* + \mathbf{e}^{(1)*} \nabla f \nabla \tilde{\mathbf{e}} \right) dS / \int_{S_x} \tilde{\mathbf{e}}^2 dS, \quad (7)$$

где $\tilde{\mathbf{e}}$ – электрическое поле в скалярном приближении, $(*)$ – комплексное сопряжение, $\delta\beta^{(1)} = \langle \tilde{\mathbf{e}} | \hat{V} | \tilde{\mathbf{e}} \rangle$.

Величину поправочного поля $\mathbf{e}^{(1)}$ определяют из системы уравнений:

$$\begin{aligned} \left[\partial_R^2 + \frac{1}{R} \partial_R - \frac{1}{R^2} + \tilde{U}^2 - V^2 f + \frac{1}{R^2} \partial_\phi^2 \right] e_r^{(1)} - \frac{2}{R^2} \partial_\phi e_\phi^{(1)} &= 2\partial_R f \partial_R \tilde{e}_r + 2\partial_R^2 f \tilde{e}_r + \frac{4\rho V}{(\sqrt{2\Delta})^3} \delta\beta \tilde{e}_r \\ \left[\partial_R^2 + \frac{1}{R} \partial_R - \frac{1}{R^2} + \tilde{U}^2 - V^2 f + \frac{1}{R^2} \partial_\phi^2 \right] e_\phi^{(1)} + \frac{2}{R^2} \partial_\phi e_r^{(1)} &= \frac{2}{R} \partial_R f \partial_\phi \tilde{e}_r + \frac{4\rho V}{(\sqrt{2\Delta})^3} \delta\beta \tilde{e}_\phi \end{aligned} \quad (8)$$

Для TE мод всегда выполняется условие $\delta\beta = 0$, но для TM мод $\delta\beta \neq 0$.

В волокне с параболическим профилем показателя преломления $f=R^2$ расчет на основании выражений (7) показал, что величина поляризационной поправки $\delta\beta_{TM} \sim (\lambda/\rho)^{5/2}$. Поэтому скорости распространения TM и TE мод оказываются различными. Такое различие постоянных распространения и является основным механизмом линейного двулучепреломления оптических волокон, величина которого $\delta n_T \sim (\lambda/\rho)^3$. Так для параболического волокна с $\rho=3.5$ мкм, $V=3.6$, $\Delta \sim 10^{-3}$ $\delta\beta \sim 10^{-1}$ м⁻¹ и IV вихрь разрушается на длине $\Lambda=67$ м.

Основной вклад дает $\delta\tilde{\beta}$, которая не изменяет спиральности σ , но различна для однородных и неоднородных CV вихрей. Поэтому в вихри в состояниях $\{|+l,+1\rangle; |-l,-1\rangle\}$ и $\{|+l,-1\rangle; |-l,+1\rangle\}$ имеет различные фазовые набеги на одинаковой длине волокна z . Это явление идентично циркулярному двулучепреломлению, которое в данном случае носит более общий характер (характеризуется не только поляризацией, но и топологическим зарядом), чем классический аналог в оптике кристаллов.

3. Эксперимент

Экспериментально изучалось вращение направления линейной поляризации ψ и оси вырожденной краевой дислокации χ в различных сечениях волокна при возбуждении его циркулярно

поляризованной CP_{11}^+ модой (или LV_+ вихрем). Выбиралось маломодовое оптическое волокно со ступенчатым профилем показателя преломления.

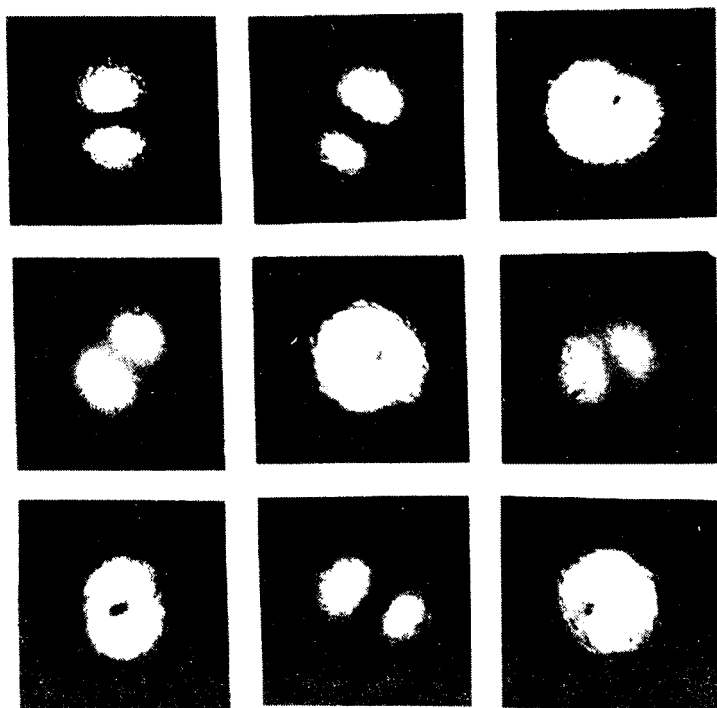


Рис.1 Поле излучения на различных длинах маломодового волокна.

Допустимая величина индуцированного линейного двулучепреломления $\delta n \sim 10^{-6}$. Длина волокна изменялась посредством обламывания отрезков длиной приблизительно 1 см. Излучение с выходного торца волокна выводилось посредством 20^х микрообъектива и проецировалось на экран. Измерялась величина и знак углов поворота линейной поляризации ψ и оси вырожденной краевой дислокации χ . На рис.1 приведена последовательность фотографий ближнего поля излучения с торца волокна.

При возбуждении волокна LV вихрем с $\sigma l = +1$, в поле излучения также регистрировались чисто винтовые дислокации исключительно с $\sigma l = +1$. Аналогично, при возбуждении волокна правоциркулярно поляризованной CP_{11} модой с $\sigma = +1$ в поле излучения могли регистрироваться винтовые дислокации только с $\sigma l = +1$. И наоборот, при возбуждении волокна LV вихрем с $\sigma l = -1$ (или CP модой с $\sigma = -1$) могли регистрироваться винтовые дислокации только с $\sigma l = -1$.

Как и предполагалось теоретически, в пределах ошибки эксперимента величина угла ψ линейной поляризации и угла χ поворота оси краевой дислокации линейно зависят от длины z , но имеют противоположные знаки (см выражения (3) и (6)). Эксперимент дает величину топологического

двулучепреломления, равную $\delta n_T = (2.3 \pm 0.08) \cdot 10^{-6}$ (теоретическая величина двулучепреломления $\delta n = 3 \cdot 10^{-6}$, полученная из выражений (4), (5) и (7)).

4. Заключение

Спин-орбитальное взаимодействие избирательно действует на поля *CV* вихрей, вызывая циркулярное двулучепреломление δn_C . В полях *TE* и *TM* мод возникает линейное двулучепреломление δn_L . В градиентных волокнах порядки циркулярного двулучепреломления $\delta n_C \sim (\lambda/\rho)$, а линейного $\delta n_L \sim (\lambda/\rho)^3$, где ρ – радиус волокна. Если в кристаллах для характеристики двулучепреломления достаточно задать базис поляризации волны, то в локально изотропной среде оптических волокон, помимо базиса поляризации, необходимо задавать топологический заряд. В волокнах циркулярное и линейное двулучепреломления могут действовать одновременно и объединяются общим названием – топологическое двулучепреломление. На эксперименте топологическое двулучепреломление проявляется как объединенный эффект Рытова-Магнуса. Результатом действия линейного двулучепреломления в волокнах также является структурная неустойчивость *IV* вихря.

Литература.

1. Вольф М., Борн Э. Основы оптики. М.: Наука, 1973. 720 с.
2. Воляр А.В., Жилайтис В.З., Фадеева Т.А., Шведов В.Г. Топологическая фаза оптических вихрей в маломодовых волокнах // Письма в ЖТФ. 1998. (принято к печати).
3. Liberman V.S., Zel'dovich B.Ya. Birefringence by a smoothly inhomogeneous locally isotropic medium // Phys. Rev. E. 1994. V.49. No.3. P.2389–2396.